

# بررسی تأثیر استفاده نازل مارپیچ و افزایش فشار تزریق بر مشخصات خروجی و آلایندگی محفظه احتراق

تاریخ دریافت: ۱۴۰۰/۱/۹

تاریخ پذیرش: ۱۴۰۱/۰۲/۳۱

امیر حمزة فرج‌الله<sup>۱</sup>, فرید باقرپور<sup>۲</sup>, رضا فیروزی<sup>۳</sup>, محمد رضا سلیمانی<sup>۴</sup>

۱- استادیار، دانشکده مهندسی هوافضاء، دانشگاه امام علی (ع)، تهران، a.farajollahi@sharif.edu

۲- دانشجوی دکترا، دانشکده فنی و مهندسی، دانشگاه تهران، تهران

۳- کارشناس ارشد، دانشکده فنی و مهندسی، دانشگاه بین‌المللی امام خمینی (ره)، قزوین

۴- استادیار، پژوهشگاه هوافضاء، تهران

## چکیده

در مقاله حاضر تأثیر استفاده از نازل مارپیچ و افزایش فشار تزریق سوت مایع بر عملکرد و نشر آلایندگی دود، اکسید نیتروزن و مونوکسید کربن محفظه احتراق یک سیستم پیشرانش بررسی شده است. راهکارهای ارائه شده می‌تواند به تغییرشود و قوع کاویتاسیون و افشاره سوت منجر شود. تأثیر هر کدام از راهکارهای پیشنهادشده با کمک مدل عددی سه‌بعدی در نرم‌افزار ای وی ال فایر، که با داده‌های تجربی موجود در هر قسمت صحت‌ستجی شده است، بر عملکرد موتور دیزل و تولید آلایندگی آن بررسی شده است. نتایج عددی حاصل نشان می‌دهد که ایجاد خان درون نازل به ایجاد جریان چرخشی افشاره سوت، افزایش زاویه مخروطی افشاره و شدت توربولانسی درون محفظه احتراق منجر می‌شود. افزایش زاویه مخروطی افشاره حاصل، عملکرد موتور دیزل را از طریق کاهش مصرف سوت و افزایش توان و گشتاور تولیدی بهبود می‌بخشد و میزان تولید آلایندگی آن بررسی شده است. نتایج عددی حاصل نشان می‌دهد که ایجاد خان درون نازل به ایجاد جریان چرخشی افشاره سوت، افزایش زاویه مخروطی افشاره و شدت توربولانسی درون محفظه احتراق منجر می‌شود. افزایش زاویه مخروطی افشاره حاصل، عملکرد موتور دیزل را از طریق کاهش مصرف سوت و افزایش توان و گشتاور تولیدی بهبود می‌بخشد. از نکات منفی افزایش فشار تزریق سوت می‌توان به افزایش میزان تولید آلایندگی آن اشاره کرد. با افزایش فشار تزریق سوت از ۱۳۵۰ بار به ۲۱۰۰ بار، مصرف سوت ۳۸ درصد کاهش و توان و گشتاور تولیدی آن افزایش می‌یابد. همچنین در این حالت آلایندگی مونوکسید کربن ۶۵ درصد کاهش و آلایندگی اکسید نیتروزن ۲۰ درصد افزایش می‌یابد.

واژه‌های کلیدی: نازل مارپیچ، فشار تزریق، سوت مایع، آلایندگی، محفظه احتراق، سیستم پیشرانش

۸۵

سال ۱۱ - شماره ۲

پاییز و زمستان ۱۴۰۱

نشریه علمی

دانش و فناوری هوا فضا



## Investigation of the effect of using a swirl nozzle and increasing injection pressure on the output characteristics and pollution of the combustion chamber

Amirhamzeh Farajollahi<sup>1</sup>, Farid Bagherpour<sup>2</sup>, Reza Firuzi<sup>2</sup>, Mohammadreza Salimi<sup>4</sup>

1- Assistant professor, Department of Engineering, Imam Ali University, Tehran, Iran

2- Ph.D Student, Department of Mechanical Engineering, Tehran

3- Department of Mechanical Engineering, Ghazvin University, Ghazvin, Iran

4- Assistant professor, Aerospace Research Institute

### Abstract

In the present study, the effect of using a swirl nozzle and increasing the pressure of liquid fuel injection on the performance and emission of soot, nitrogen oxide and carbon monoxide combustion chamber of a propulsion system is investigated. The proposed solutions can change the intensity of cavitation and fuel spray characteristics. The effect of each of the proposed solutions with the help of a three-dimensional numerical model in EVL Fire software, which has been validated with experimental data in each section, on the performance of the diesel engine and its emissions has been investigated. The numerical results show that the creation of swirl inside the nozzle leads to a rotational flow of the fuel injector, an increase in the spray cone angle and the turbulence intensity inside the combustion chamber. Increasing the resulting spray cone angle improves the performance of the diesel engine by reducing fuel consumption and increasing power and torque, and the production of nitrogen oxide and carbon monoxide pollutants due to a better fuel-air mixture, increased turbulence intensity and average temperature inside the chamber. Combustion is reduced to an appropriate amount. Increasing the injection pressure can also improve the performance of the diesel engine. One of the negative points of increasing fuel injection pressure is the increase in nitrogen oxide production. By increasing the fuel injection pressure from 1350 bar to 2100 bar, fuel consumption decreases by 38% and its power and torque increase. Also in this case, carbon monoxide pollutants decrease by 65% and nitrogen oxide pollutants increase by 20%.

**Keywords:** Spiral nozzle, injection pressure, liquid fuel, pollution, combustion chamber, propulsion system

## ۱. مقدمه

بهینه‌سازی شود. در این سیستم، سوخت از یک ریل مشترک تحت فشار بالا به درون محفظه احتراق تزریق می‌شود. سیستم کنترل الکترونیکی تضمین می‌کند که شروع تزریق، مقدار و زمان آن مستقل از سرعت موتور می‌باشد. در سال ۱۹۹۷ شرکت بوش برای اولین بار سیستم ریل مشترک را در خودروهای سواری به بازار عرضه کرد [۲]. محصول سیستم ریل مشترک برای خودروهای تجاری از سال ۱۹۹۹ شروع شد. سیستم نامش را از ذخیره‌کننده (آکومولاتور) فشار مشترک ریل که سوخت همه سیلندرها را تأمین می‌کند، گرفته است. در مقایسه با دیگر سیستم‌های انژکتوری، فشار تولیدی و پاشش در فناوری ریل مشترک از هم جدا هستند. یک پمپ فشار بالای مستقل سوخت را به طور پیوسته درون ریل تغذیه می‌کند. در این سیستم، به طور دائم و پایدار یک فشار هماهنگ با وضعیت‌های مدیریت موتور در اختیار آن قرار گرفته و حتی در سرعت‌های پایین موتور این فشار وجود دارد. در فناوری ریل مشترک در مقایسه با سیستم‌های مرسوم تفاوت هایی وجود دارد که پاشش‌های متعدد را در سیکل‌های انجام کار مهیا می‌کنند. در این مرحله پاشش اولیه برای آرام کار کردن موتور، پاشش اصلی برای ایجاد قدرت ایده‌آل و پاشش ثانویه برای کاهش آلایندگی صورت می‌گیرد. با کنترل دقیق حجم سوخت انتقالی در فشار بالا، مصرف سوخت نیز می‌تواند به صورت چشمگیری کاهش یابد. در این سیستم یک لوله‌کشی سوخت مشترک به اصطلاح ریل همه انژکتورهای موتور را با سوخت تأمین می‌کند [۳-۵]. هنگامی که سوخت باید به درون سیلندر تزریق شود، نازل

موتورهای دیزل به دلیل دارا بودن ویژگی هایی همچون نسبت تراکم، راندمان، توان و گشتاور تولیدی بالا و همچنین مصرف سوخت پایین نسبت به سایر موتورهای احتراق داخلی، در صنایع مختلف حمل و نقل جاده‌ای، کشاورزی، صنایع نظامی و تولید الکتریسیته کاربرد گسترده ای دارند. با توجه به کاربری روزافزون این موتورها و مشکلات ناشی از آلایندگی آن‌ها و تجدیدناپذیر بودن منابع سوخت‌های فسیلی، تلاش برای بهبود احتراق و کاهش مصرف سوخت و آلایندگی ناشی از آن‌ها مهم و الزامی می‌باشد. فرایند احتراق در این موتورها به شدت وابسته به مشخصه‌های پاشش سوخت و پدیده اتمیزاسیون جهت افزایش نرخ تبخیر و بهبود مخلوط سوخت و هوا است [۱].

فشار پاشش سوخت، پروفیل پاشش، هندسه سوراخ نازل، پروفیل جابه‌جایی سوزن، نوع سوخت و دمای آن مهم‌ترین عوامل تأثیرگذار در مشخصات افسانه سوخت و درنتیجه عملکرد موتور دیزل هستند. به همین علت بیشتر سازندگان موتورهای دیزل و محققان در زمینه سیستم‌های سوخت‌رسانی تحقیقات و پژوهش های زیادی را انجام داده‌اند. کاربراتور یک دستگاه مکانیکی بود که به طور کامل قادر به کنترل یک نسبت سوخت و هوای دقیق نبود. از این‌رو آن را با فناوری جدید تزریق سوخت ریل مشترک جایگزین کردند. در این روش، سوخت به وسیله اسپری کردن آن توسط انژکتور، اتمیزه (پودرسازی) می‌شود. با سیستم سوخت‌رسانی ریل مشترک، فرایند احتراق می‌تواند با تولید مقادیر آلاینده کمتر و مصرف سوخت پایین‌تر

۸۶  
سال ۱۱ - شماره ۲  
پاییز و زمستان ۱۴۰۱  
نشریه علمی  
دانش و فناوری هوا فضا



مشخصات ۹-۶ و آلایندگی مصنوعه احتراق  
رشیز پیوسته استفاده نازل مارپیچ و ایندیکیشن  
فشار تزریق

موتور افزایش و مقدار آلاینده‌های تولیدی آن کاهش می‌یابد. پاشش سوخت شبه مثلثی در مقایسه با نرخ پاشش ثابت عملکرد مناسب‌تری دارد و مصرف سوخت ویژه در آن کاهش و مقدار توان آن افزایش می‌یابد. همچنین در این تابع، مقدار آلاینده اکسید نیتروژن اندکی افزایش می‌یابد [۷].

فرج‌الهی و همکاران تأثیر ایجاد جریان دورانی و تغییر زاویه پاشش سوخت بر عملکرد و آلاینده‌گی موتور دیزل کاترپیلار را به کمک روش دینامیک سیالات محاسباتی در نرمافزار فایر بررسی کردند. نتایج مربوط به عملکرد موتور دیزل نشان می‌دهد که ایجاد جریان دورانی درون نازل و محفظه احتراق به همراه افزایش زاویه پاشش سوخت به افزایش ۷۵ درصدی توان و گشتاور تولیدی و کاهش ۳۷ درصدی مصرف سوخت نسبت به نازل استوانه‌ای سوخت منجر می‌شود. همچنین نتایج مربوط به آلاینده‌گی این موتور دیزل نشان می‌دهد که در این حالت آلاینده مونوکسید کربن و اکسید نیتروژن به مقدار ۴۲/۷۳ درصد و ۴۵/۴۵ درصد کاهش می‌یابد [۸].

احمدی و همکاران تأثیر جایگزینی مقادیر مختلف هیدروژن به جای دیزل بر عملکرد و آلاینده‌گی موتور دیزل را بررسی کردند. آن‌ها نتیجه گرفتند که جایگزینی هیدروژن موجب تأخیر در شروع احتراق و رشد نرخ افزایش فشار و افزایش حرارت آزادشده خواهد شد، ولی این افزایش فشار به پدیده کوبش منجر خواهد شد [۹].

انژکتور مربوطه باز شده و سوخت از ریل به درون محفظه احتراق جریان می‌یابد و طی فرایندی با فشار بالا انتیزه می‌شود و با هوا مخلوط می‌شود. اجزا و قطعات سیستم ریل مشترک باید بسیار دقیق و به راحتی قابل کنترل باشند. فشار پاشش بالاتر، بخارشدن بهتر سوخت توسط سیستم پاشش و همزمان بازده احتراق بیشتر را سبب می‌شود. در سال ۲۰۰۵ شرکت بوش سومین ریل مشترک تولیدی را با فشار پاشش ۱۸۰۰ بار برای وسائل نقلیه تجاری سبک معرفی کرد. یک نسخه از این سیستم برای خودروهای نیمه سنگین در سال ۲۰۰۷ به بازار عرضه شد. در برابر قوانین سخت‌گیرانه آلاینده‌گی گازهای خروجی، این شرکت پیشرفت‌های بیشتری را در سیستم‌های پاشش ادامه می‌دهد. بر پایه انژکتور با فشار پاشش ۱۸۰۰ بار، بوش سیستم‌ها را برای فشار ۲۲۰۰ و ۲۵۰۰ بار گسترش خواهد داد [۶]. انژکتورها در سرسیلندر موتورها نصب می‌شوند و نظیر سیستم‌های انژکتوری مرسوم شامل تنہ سوزن انژکتور و نازل می‌باشند. اجزای اصلی انژکتور شامل سوپاپ مغناطیسی، نازل سوراخدار و سیستم سرو هیدرولیکی می‌باشد. همچنین در صورتی که یکی از انژکتورها دچار نشتی شود، فشار در ریل افت کرده و تمامی انژکتورها از کار می‌افتد.

## ۲- مروری بر مطالعات و نوآوری کار حاضر

شرونی تبار و همکاران اثر تابع پاشش سوخت بر عملکرد موتور دیزل به صورت عددی را بررسی کردند. بدین منظور شش تابع پاشش سوخت مختلف انتخاب شد. نتایج نشان داد که با استفاده از توابع پاششی مناسب سوخت، توان



حسین پور و همکاران با استفاده از کد KIVAll تأثیر پارامترهای پاشش سوخت از جمله زمان بندی پاشش، فشار پاشش و استفاده از خنک کن میانی را بر عملکرد و تولید آلاینده‌ها در یک موتور دیزل پاشش مستقیم و تأثیر حالت خاصی از پاشش چند مرحله‌ای بر تولید آلاینده اکسیدهای نیتروژن مورد بررسی قرار دادند، در این حالت آلاینده اکسیدهای نیتروژن تا ۶٪ کاهش یافت [۱۰].

فیروزی و همکاران به صورت عددی به بررسی تأثیر افزایش شدت توربولانسی و زاویه مخروطی اسپری بر عملکرد و آلاینده‌گی یک موتور دیزل سنگین پرداختند. نتایج نشان می‌دهند که نازل دارای خان نسبت به سایر هندسه‌ها عملکرد مناسب‌تری دارد. به این شکل که مصرف سوخت ویژه نسبت به انژکتور استوانه‌ای حدود ۳۲ درصد کاهش یافته است و مقادیر توان و گشتاور تولیدی بیشتر از ۶۳ درصد افزایش می‌یابد. همچنین آلاینده‌هایی مانند اکسیدهای نیتروژن ۱۲ درصد کاهش می‌یابند [۱۳].

مردانی و همکاران تأثیر ایجاد جریان چرخشی درون نازل و تغییر پروفیل بالابری سوزن را بر رفتار اسپری سوخت دیزل بررسی کردند. نتایج حاصل نشان داد که این افشهنه‌های جدید زاویه مخروطی فواره بیشتر و طول نفوذ و قطر متوسط ذرات پاشیده شده کمتری نسبت به افشهنه‌های شبیه‌سازی‌شده در مرحله اول دارند؛ بنابراین مشخصات فواره سوخت از طریق ایجاد جریان چرخشی، تغییر نحوه جابه‌جایی سوزن و هندسه سوراخ افشهنه می‌تواند کنترل شود [۱۴].

مرور مقالات گذشته نشان می‌دهد که تاکنون مطالعات زیادی درباره تأثیر پارامترهای مختلف بر عملکرد و آلاینده‌گی محفظه موتور احتراق صورت گرفته شده است ولی تاکنون تأثیر استفاده همزمان از نازل مارپیچ و افزایش فشار تزریق سوخت مایع بر عملکرد و نشر آلاینده‌گی دوده، اکسید نیتروژن و مونوکسید کربن محفظه احتراق صورت نگرفته است که در واقع این هدف و نوآوری مقاله حاضر نیز می‌باشد.

نیشیدا و همکاران تأثیر فشار تزریق بالا بر مشخصه‌های افشهنه سوخت دیزل از قبیل قطر متوسط ساتر، طول نفوذ و آشفتگی محیط تزریق به صورت تجربی بررسی کردند. بدین منظور از سه فشار ۱۰۰۰ و ۲۰۰۰ و ۳۰۰۰ بار استفاده کردند. نتایج نشان دهنده ترکیب بهتر سوخت و هوا و فرایند اتمیزاسیون سوخت در فشارهای تزریق بالا با افزایش آشفتگی در محیط تزریق بودند [۱۲]. سلیمی و همکاران تأثیر شکل هندسی و ایجاد خان درون نازل یک انژکتور سوخت را بر عملکرد موتور و آلاینده‌های ناشی از احتراق با استفاده از

۱-۳ انجکتور

همان طور که اشاره شد، برای شبیه‌سازی جریان دوفازی درون انژکتور از رویکرد اویلر-اویلر استفاده می‌شود. معادلات حاکم شامل معادلات بقای جرم، مومنتوم و انرژی جنبشی آشفتگی می‌باشند [۱۵].

$$\frac{\partial \alpha_k \rho_k}{\partial t} + \nabla \cdot \alpha_k \rho_k v_k = \sum_{l=1, k \neq l}^N \Gamma_{kl}, \quad (1)$$

کمیت جرم

که در آن،  $\alpha_k$  کسر حجمی فاز  $k$  ،  $v_k$  سرعت فاز  $k$  و  $\Gamma_{kl}$  بیانگر چگالی فاز  $k$  بین دو فاز  $k$  و  $l$  می باشد [۱۵]. همچنین مجموع کسر حجمی تمامی فازها (بخار و مایع) برابر یک می باشد:

$$\sum_{k=1}^N \alpha_k = 1 \quad (\text{P})$$

مومنتوم

$$\frac{\partial \alpha_k \rho_k v_k}{\partial t} + \nabla \cdot \alpha_k \rho_k v_k = -\alpha_k \nabla p + \nabla \cdot \alpha_k (\vec{\tau}_k + \vec{T}_k^t) + \alpha_k \rho_k \vec{f} + \sum_{kl}^N M_{kl} \rightarrow v_k \sum_{kl}^N \Gamma_{kl}, k=1, \dots, N \quad (3)$$

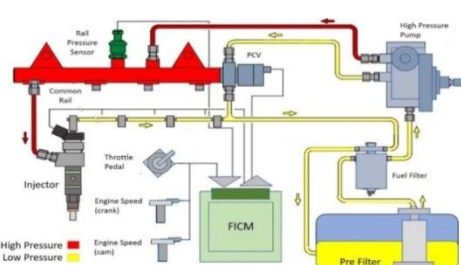
در معادله (۳)،  $f$  بردار نیروی حجمی شامل نیروی جاذبه و اینرسی،  $\tau$  بردار تنش برشی،  $T^t$  بردار تنش رینولدزی،  $M$  بیانگر تبادل مومنتوم بین حالتهای  $p$  فشار استاتیکی می‌باشد. انرژی جنبشی آشفتگی

$$\frac{\partial \alpha_k \rho_k K_k}{\partial t} + \nabla \cdot \alpha_k \rho_k v_k K_k = \nabla \cdot \alpha_k (\mu_k + \frac{\mu'_k}{\sigma_k}) \nabla K_k + \alpha_k p_k - \alpha_k \rho_k \varepsilon_k + \sum_{i=1}^N K_{i..} + K_{..i} - \sum_{j=1}^N \Gamma_{j..} \quad k=1, \dots, N \quad (4)$$

در معادله (۴)،  $k$  ارزشی جنبشی آشфтگی،  $\mu$  لرجت دینامیکی،  $t^{\mu}$  لرجت مولکولی،  $\sigma$  کشش سطحی، و  $\epsilon$  نرخ اضمحلال ارزشی است [۱۲].

۳- بررسی تئوری و معادلات حاکم

در این مقاله، در سه قسمت تأثیر استفاده از نازل مارپیچ و افزایش فشار تزریق سوخت مایع با استفاده از پمپ فشار تزریق بالا بر شدت وقوع کاویتانسیون و رفتار اسپری برای سوخت دیزل و عملکرد موتور بررسی شده است. در قسمت اول، رویکرد اویلر-اویلر برای شبیه‌سازی جریان دو فازی درون انژکتور به کار برده شده است. در قسمت دوم با رویکرد اویلر - لاگرانژی، شبیه‌سازی اسپری به کمک داده‌های ذخیره شده در مقطع خروجی نازل از قسمت اول بررسی شده است. نتایج حاصل از محاسبات جریان داخل انژکتور در مقطع خروجی نازل ذخیره می‌شوند. در ادامه شبیه‌سازی اسپری به کمک داده‌های ذخیره شده در مقطع خروجی نازل به عنوان داده‌های ورودی صورت می‌گیرد. در قسمت سوم نیز عملکرد و آلایندگی موتور در حالت‌های مختلف بررسی شده است. شماتیک سیستم سوخت‌رسانی انژکتوری‌ریل مشترک در شکل ۱ نشان داده شده است [۱]. به منظور افزایش دقیق و کاهش مدت زمان محاسبات عددی با توجه به شرط مرزی متقارن انژکتور، شبیه‌سازی تنها یک پنجم (یعنی یک سوراخ نازل انژکتور) از کل هندسه موردنظر با استفاده از نرم‌افزار ای وی ال فاب انجام شده است.



شکل ۱- شماتیک سیستم سوخت‌رسانی با انژکتور [۱]

$$C_D = \begin{cases} \frac{192}{\text{Re}_b} (1 + 0.1 \text{Re}_b^{0.75}) \text{Re}_b & \text{Re}_b \leq 1000 \\ 0.438 & \text{Re}_b > 1000 \end{cases} \quad (10)$$

### ۳-۱-۱- فشار تزریق و عدد کاویتاسیون

سیستم پاشش سوخت با ریل مشترک یکی از انواع سیستم‌های سوخترسانی الکتریکی پاشش سوخت است و دارای مزايا و معایب سیستم‌های الکترونیکی می‌باشد. در این سیستم قطعه‌ای که ریل نامیده می‌شود درواقع یک آکومولاتور فشار بالا برای ذخیره مقداری سوخت با فشار بالا، از ۳۰۰ تا ۱۵۰۰ بار می‌باشد. پمپ فشارقوی می‌تواند پیستونی یا دندنهای باشد. در شکل ۲ نمونه‌ای از این پمپ‌ها نشان داده شده است. ریل را بهوسیله یک پمپ جدا از خود موتور و مثلاً یک پمپ برقی می‌توان شارژ کرد. تنظیم فشار داخل ریل بهوسیله یک حسگر فشار یک کنترل یونیت الکترونیکی و یک شیر کنترل در ورودی پمپ فشارقوی انجام می‌شود [۳].

بر روی ریل از یک شیر فشارشکن نیز استفاده می‌شود که در صورت ایجاد مشکل در سیستم کنترل، فشار ریل بیش از حد بالا نرود. در این سیستم سوخت با فشار موردنیاز جهت پاشش در پشت انژکتورها ذخیره شده است و هنگامی که از طرف کنترل یونیت فرمان الکتریکی جهت باز شدن انژکتورها صادر شود در همان لحظه پاشش سوخت با فشار حدود ۱۰۰۰ بار صورت می‌گیرد. در میان انواع سیستم‌های سوخترسانی این سیستم از نظر مقدار پاشش و زمان‌بندی بسیار دقیق می‌باشد. همچنین پاشش با زمان‌بندی متغیر و پاشش چندمرحله‌ای در این سیستم امکان‌پذیر است. این سیستم توانسته استانداردهای آلودگی هوا را به راحتی کسب کند از معایب این سیستم می‌توان به زمان طولانی استارت اولیه (جهت به وجود آمدن فشار در ریل) و عمر کوتاه پمپ‌های فشارقوی اشاره کرد. همچنین درصورتی که یکی از انژکتورها دچار

### ۲-۳ تبادل بین حالتی

تبادل جرم بین دو حالت مایع و بخار با مدل کاویتاسیونی غیرخطی مدل شده است و معادله حاکم به صورت زیر می‌باشد:

$$\Gamma_c = \rho_d N''' 4\pi R^2 \dot{R} = -\Gamma_d \quad (5)$$

که در آن،  $N'''$  چگالی عددی حباب و شعاع حباب می‌باشد. تغییرات شعاع حباب با زمان با کمک معادله رایلی ارائه می‌شود [۱۵]:

$$R \ddot{R} + \frac{3}{2} \dot{R}^2 = \frac{\Delta p}{\rho_c} \quad (6)$$

که در آن  $\Delta p$  اختلاف فشار مؤثر و چگالی حالت پیوسته (مایع) می‌باشد. چگالی عددی حباب،  $N'''$ ، با توجه به رمپ خطی نزولی فرض شده به صورت زیر محاسبه می‌شود:

$$N''' = \begin{cases} N_0''' & \alpha_d \leq 0.5 \\ 2(N_0''' - 1)(1 - \alpha_d) + 1\alpha_d & \alpha_d > 0.5 \end{cases} \quad (7)$$

$N_0'''$  چگالی عددی اولیه حباب می‌باشد که به مشخصات فاز مایع سوخت موردنظر بستگی دارد [۱۵].

تبادل مومنتوم بین دو حالت مایع و بخار برای سوخت با در نظر گرفتن تأثیر نیروهای پسا و پخش آشفتگی به صورت زیر محاسبه می‌شود:

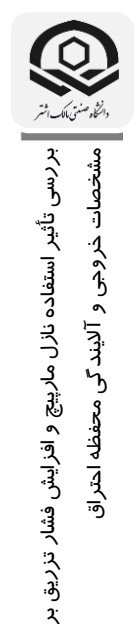
$$M_c = \frac{1}{8} C_D \rho_c A_i''' |v_r| v_r + C_{TD} \rho_c k_c \nabla \alpha_d = -M_d \quad (8)$$

$C_D$  ضریب پسا،  $v_r$  سرعت نسبی بین دو فاز،  $C_{TD}$  ضریب پخش آشفتگی و همچنین  $K$  انرژی جنبشی آشفتگی می‌باشد.  $A'''$  نیز بیانگر چگالی سطح مشترک بین دو حالت مایع و بخار بوده و در مدل کاویتاسیونی پسا به صورت زیر ارائه می‌شود:

$$A_i''' = \pi D_b^2 N''' = (36\pi N''')^{\frac{1}{3}} \alpha_d^{\frac{2}{3}} \quad (9)$$

ضریب پسا نیز تابعی از عدد رینولدز حباب بوده و به صورت زیر ارائه می‌شود [۱۶]:

۹۰  
سال ۱۱ - شماره ۲  
پاییز و زمستان ۱۴۰۱  
نشریه علمی  
دانش و فناوری هوا فضا



[۱۶]. معادله بقای مومنتوم به صورت زیر ارائه می‌شود:

$$m_d \frac{du_{id}}{dt} = F_{idr} + F_{ig} + F_{ip} + F_{ib} \quad (13)$$

که در آن،  $F_{idr}$  نیروی پسا میباشد و برابر است با:

$$F_{idr} = \frac{1}{2} \rho_g A_d C_d |u_{rel}| u_{irel} \quad (14)$$

همچنین شتاب قطره در محیط گازی درون محفظه به صورت زیر ارائه و بیان می‌شود [۱۴]:

(15)

$$\frac{du_{id}}{dt} = \frac{3}{4} C_D \frac{\rho_g}{\rho_d} \frac{1}{D_d} |u_g - u_d| (u_{ig} - u_{id}) + (1 - \frac{\rho_g}{\rho_d}) g_i$$

زیر مدل استفاده شده در تبخیر قطرات اسپری سوخت، مدل دوکوویج می‌باشد [۱۶]. بقیه زیر مدل‌های استفاده شده در شبیه‌سازی اسپری سوخت عبارت‌اند از: مدل ارور که در برهم‌کنش میان ذرات، مدل تزریق گلوله در فروپاشی اولیه و مدل موج برای فروپاشی ثانویه. در مدل تزریق گلوله مشخصه شعاع قطره  $r_A$  و مشخصه زمان فروپاشی  $R, \tau_A$  بیانگر شعاع واقعی قطره بوده و نرخ فروپاشی آیرودینامیکی به صورت زیر محاسبه می‌شود [۱۶]:

$$\left( \frac{dr}{dt} \right)_a = - \frac{(r - r_a)}{C \cdot \tau_a} \quad (19)$$

نرخ فروپاشی اختشاش از مقیاس‌های طول  
اختشاش  $\tau_T$  و زمان اختشاش  $\tau_T$  محاسبه می‌شود:

$$\frac{dR}{dt} = -\frac{r - C_3 r_T}{C_4 \tau_T} \quad (\text{V})$$

معادله آشфтگی برای سوخت مایع می‌تواند به صورت زیر نوشته شود [۱۴]:

$$\frac{dk}{dt} = -\varepsilon + S_k \quad (1\lambda)$$

$$\frac{d\varepsilon}{dt} = -C \cdot \frac{\varepsilon}{k} \cdot (\varepsilon - S_k) \quad (19)$$

در معادله‌های (۲۰) و (۲۱)، تأثیر وقوع کاویتاسیون توسط ترم  $S_k$  اعمال شده است. در مدل موج (فروپاشی ثانویه) نرخ کاهش شعاع

نشتی شود فشار در ریل افت کرده و همه انژکتورها از کار می‌افتد [۱۷].



(الف)



(ب)

شکل ۲- پمپ تزریق سوخت فشار بالا

در شبیه‌سازی هر سه سطح فشار ذکر شده در معادله فوق قابلیت تغییر دارند.  $P_{in}$  سطح فشار در ورودی انژکتور است. این معمولاً یک مقدار ثابت است، اما می‌تواند متغیر و یکتابع از زمان نیز باشد.  $P_{out}$  فشار خروجی سوراخ اسپری است و یک مقدار متوسط باید در نظر گرفته شود. اغلب داده‌های فایل نازل در آن نوشته می‌شود.  $P_{vap}$  فشار اشباع است که در مدل کاویتاسیونی تعریف شده و می‌تواند ثابت یا متغیر باشد. مقادیر  $K$  کمتر به معنای وقوع کاویتاسیون باشد. [۴] بیشتری می‌باشد.

$$Cavitation-Number(Nurick) = k = \frac{P_{in} - P_{vapor}}{P_{in} - P_{out}} \quad (11)$$

نحوه تغییرات CN با K متفاوت بوده و مقادیر بالای عدد CN به معنی وقوع کاویتاسیون باشد پیشتر است [۵].

(12)

سالخوازی و انتخابات

رویکرد مورداستفاده در شبیه‌سازی اسپری سوخت مایع، رویکرد اوبلی - لگانژی می‌باشد

مومنتوم (معادله ناویر- استوکس)

(۲۵)

$$\frac{\partial(\rho v_i)}{\partial t} + \sum_{j=1}^3 v_j \frac{\partial(\rho v_i)}{\partial x_j} = \sum_{j=1}^3 \frac{\partial \tau_{ij}}{\partial x_j} - \frac{\partial P}{\partial x_i} + \rho F_{v,i} + F_{p,i}$$

در معادله فوق،  $F_{v,i}$  بیانگر نیروهای حجمی است.  $F_{p,i}$  نیز عمدتاً به نیروی فشاری در جریان دوفاز اشاره دارد.  $\tau_{ij}$  بیانگر تنش برشی می‌باشد که برای سیالات نیوتنی از رابطه زیر به دست می‌آید که در آن  $\delta_{ij}$  دلتای کرونکر است.

$$\tau_{ij} = \mu \left( \frac{\partial v_i}{\partial x_j} + \frac{\partial v_j}{\partial x_i} - \frac{2}{3} \cdot \frac{\partial v_k}{\partial x_k} \delta_{ij} \right) \quad (26)$$

انرژی

(۲۷)

$$\frac{\partial(\rho h)}{\partial t} + \sum_{j=1}^3 \frac{\partial(\rho v_j h)}{\partial x_j} = \sum_{j=1}^3 \tau_{ij} \frac{\partial v_i}{\partial x_j} + \frac{\partial P}{\partial t} + v_i \frac{\partial P}{\partial x_i} - \sum_i \frac{\partial q_i}{\partial x_i} + S_h$$

در رابطه فوق  $h$  آنتالپی بر واحد جرم و برابر با  $e + \frac{p}{\rho}$  و  $e$  انرژی داخلی بر واحد جرم است.  $q_i$  شار حرارتی در جهت  $i$  به واسطه گرادیان دما است که از قانون فوریه برابر با  $-k \frac{\partial T}{\partial x_i}$  و  $k$  ضریب هدایت حرارتی سیال می‌باشد. همچنین  $S_h$  تولید انرژی به واسطه جرم تبخیرشده قطرات افشاره می‌باشد [۱۸].

#### ۴- روش حل عددی

##### ۴- ۱ انژکتور

به منظور بررسی تأثیر تغییر هندسه سوراخ نازل انژکتور بر شدت وقوع کاویتاسیون و مشخصات اسپری سوخت و احتراق موتور، ۴ عدد مارپیچ دارای گام ۰/۱ میلی‌متر و ضخامت (ارتفاع) ۰/۰۴ میلی‌متر درون نازل انژکتور دیزل موردنظر ایجاد شده است. سوراخ نازل مخروطی انژکتور دارای طول ۰/۷ میلی‌متر، قطر ورودی ۰/۱۴۳ میلی‌متر، قطر خروجی ۰/۱۳۰ میلی‌متر و همچنین شعاع منحنی ورودی سوراخ ۱۰ میکرومتر می‌باشد. همچنین سوراخ نازل استوانه-

قطره اسپری نسبت به زمان به صورت زیر ارائه

می‌شود:

$$\frac{dr}{dt} = - \frac{(r - r_{stable})}{\tau_a} \quad (20)$$

$\tau_a$  زمان فروپاشی مدل می‌باشد و به صورت زیر ارائه می‌شود:

$$\tau_a = \frac{3.726 \cdot C_2 \cdot r}{\Lambda \cdot \Omega} \quad (21)$$

در معادله (۲۳)، ضریب ثابت  $C_2$  زمان فروپاشی مدل را تصحیح می‌کند.  $r_{stable}$  شعاع نهایی قطره اسپری سوخت و متناظر با طول موج  $\Lambda$  مربوط به موج دارای سریع‌ترین رشد روی سطح قطره اسپری سوخت می‌باشد. طول موج  $\Lambda$  و نرخ رشد موج  $\Omega$  وابسته به مشخصات محلی سیال بوده و به صورت زیر بیان می‌شود [۱۷]:

(۲۲)

$$\Lambda = 9.02 \cdot r \frac{(1+0.45 \cdot oh^{0.5})(1+0.4 \cdot (Oh \cdot We^{0.5})^{0.7})}{(1+0.87 \cdot We_g^{1.67})^{0.6}} \quad (23)$$

(۲۳)

$$\Omega = \left( \frac{\rho_d r^3}{\sigma} \right)^{-0.5} \frac{0.34 + 0.38 \cdot We_g^{1.5}}{(1+Oh)(1+1.4 \cdot (Oh \cdot We^{0.5})^{0.6})} \quad (24)$$

در معادله‌های (۲۴) و (۲۵)،  $We$  عدد بدون بعد و  $oh$  عدد بدون بعد اونسورگ می‌باشد [۱۴].

۹۲

سال ۱۱- شماره ۲

-----

پاییز و زمستان ۱۴۰۱

نشریه علمی

دانش و فناوری هوا فضای

#### ۳-۳ محفظه احتراق

معادلات حاکم شامل معادلات پایستگی جرم، مومنتوم و انرژی می‌باشند. در موتورهای دیزل به دلیل پاشش افشاره سوخت درون محفظه احتراق، ترم‌هایی به روابط پایستگی جرم، مومنتوم و انرژی اضافه می‌شود [۱۸]. فرم دیفرانسیلی معادلات به شکل زیر می‌باشد که ۱ بیانگر جهت مختصات است.

پیوستگی

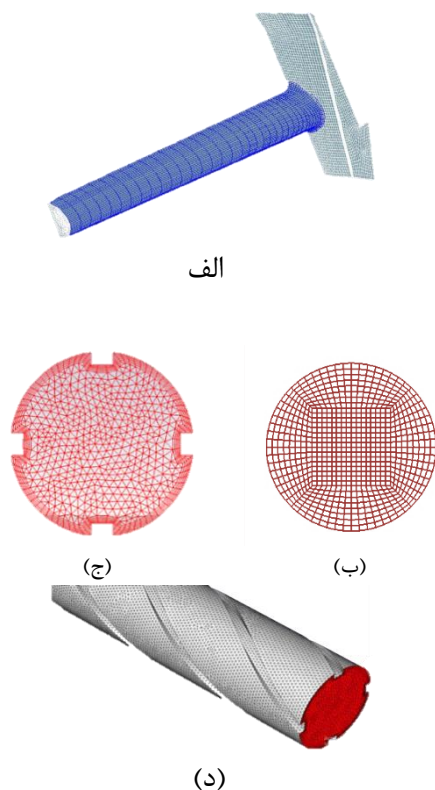
$$\frac{\partial \rho}{\partial t} + \sum_i \frac{\partial}{\partial x_i} (\rho v_i) = S_m \quad (24)$$

$S_m$  نیز تولید جرم به واسطه تبخیر قطرات افشاره سوخت می‌باشد.



مشخصات ۰/۰۶ و آندازگیری محفظه احتراق  
تئوری استفاده نازل مارپیچ و فشرنده فشار زد

پروفیل جابه‌جایی سوزن بر حسب زاویه میل لنگ ۱۸ درجه) در شکل ۵ آورده شده و سرعت دورانی موتور برابر ۳۷۵۰ دور بر دقیقه در نظر گرفته شده است [۱۱].



شکل ۴- شبکه‌بندی انژکتور دیزل، (الف) بدنه انژکتور دارای نازل استوانه‌ای، (ب) خروجی نازل استوانه‌ای معمولی، (ج) خروجی نازل مخروطی همگرای مارپیچ و (د) بدنه انژکتور دارای نازل مارپیچ

جدول ۱- خواص سوخت دیزل دمای ۳۱۳ کلوین [۱۹]

بخار	مایع	فاز سوخت
۵	۸۲۵	چگالی (kg/m <sup>3</sup> )
۰/۰۰۰۱	۰/۰۰۲۱	لزجت (pa.s)
-	۰/۰۲۴	کشش سطحی (N/m)
-	۱۰۰	فشار بخار (pa)

ای انژکتور موردنظر دارای قطر ورودی ۰/۱۳۰ میلی‌متر و شعاع منحنی ورودی ۲ میکرومتر می‌باشد. هندسه و شبکه محاسباتی انژکتور موردنظر در دو حالت مارپیچ و معمولی به صورت شکل ۳ و ۴ می‌باشد که با کمک نرم‌افزارهای کتیا و فایر انجام شده است. انژکتورهایی در دنیا از این روش ایجاد شیار مارپیچی استفاده می‌کنند: یک مدل انژکتور که توسط شرکت چینی Spiral nozzle SPJT series ساخته می‌شود، یک مدل انژکتور AZPI Nozzle Altai 171.07.00 هست، یک نمونه انژکتور از شرکت Detroit Diesel Series 60 engine و شرکت BETE Fog Nozzle Inc اسپانیایی.



شکل ۳- هندسه نازل انژکتور دیزل، (الف) نازل استوانه‌ای معمولی و (ب) بزرگنمایی نازل مخروطی همگرای مارپیچ

در بررسی استقلال جواب از شبکه محاسباتی، به مطالعه تأثیر اندازه شبکه محاسباتی مختلف بر دبی جرمی جریان سوخت خروجی از نازل انژکتور در هر حالت پرداخته شده و با توجه به نتایج حاصل، در شبیه‌سازی انژکتور با نازل مارپیچ از تعداد سلول محاسباتی ۷۱۶۱۴۸ و در نازل ۱۵۶۲۴۶ معمولی از تعداد سلول محاسباتی استفاده شده است. خواص سوخت در دمای ۳۱۳ کلوین در جدول ۱ آورده شده است [۱۹]. نمودار

جدول ۲- شرایط اولیه و مرزی جریان سوخت درون

[۱۱، ۸]

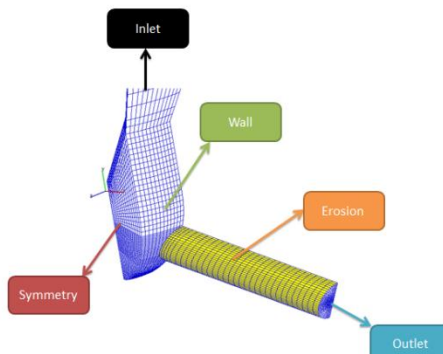
مقدار / نوع	مقدار	شرایط
دما: ۳۱۳ کلوین	فشار: ۱۳۵۰ بار	شرایط اولیه
(نوع: فشار استاتیک)	فشار ورودی: ۱۳۵۰ بار	شرایط مرزی
(نوع: فشار استاتیک)	فشار خروجی: ۱۰ بار	-
(نوع: دیواره سایش)	دیواره نازل: سایش	-

جدول ۳- پارامترهای مورداستفاده در سایش نازل

[۱۵]

مقدار	پارامتر
Stainless Steel 316L	جنس نازل انژکتور دیزل
5e-06	فاصله بحرانی برخورد حبابها (متر)
1500	سرعت صوت (متر بر ثانیه)
4e+08	تنش تسلیم (پاسکال)
1e+09	تنش ماکزیمم (پاسکال)

همچنین شرایط مرزی مورداستفاده در شبیه‌سازی انژکتور موردنظر در شکل ۷ نشان داده شده است.

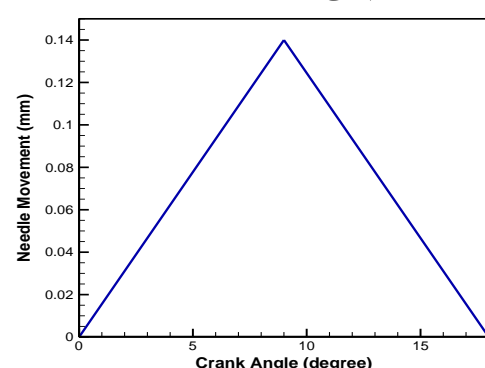


شکل ۷- شرایط مرزی در شبیه‌سازی انژکتور دیزل

#### ۴- اسپری سوخت مایع

به منظور مشاهده نتایج اسپری حاصل از هندسه‌های مختلف سوراخ نازل از یک محفظه احتراق استوانه‌ای غیر متحرک که هندسه و شبکه محاسباتی ایجادشده برای آن در شکل ۸ آورده شده، استفاده شده است [۱۶]. به منظور

با توجه به اختلاف فشار بالا بین ورودی و خروجی انژکتور و موقعیت کاویتاسیون، جریان چند فازی در نرم‌افزار فایر فعال‌سازی شده است. مدل آشفتگی مورداستفاده روش k-epsilon با رفتار تابع دیواره استاندارد برای تمامی مقادیر واپلاس در مدل آشفتگی موردنظر می‌باشد. شرایط مرزی و اولیه برای شبیه‌سازی انژکتور در تمامی حالت‌های موردنظر در جدول ۲ آورده شده است [۱۱، ۸]. با توجه به موقعیت کاویتاسیون درون نازل انژکتور و خودگی ناشی از آن، شرط مرزی دیواره نازل انژکتور به صورت سایش در نظر گرفته شده است [۱۵]. با موقعیت کاویتاسیون درون نازل انژکتور، حباب‌ها هنگام ورود به مناطق پرفشار و ترکیدن آن‌ها باعث ایجاد تنفس در سطوح فلزی می‌شود که نتیجه آن اثر پدیده خستگی بر سطح فلزات و ایجاد سایش و خوردگی و درنتیجه کاهش طول عمر نازل می‌گردد. پارامترهای موردنیاز در شبیه‌سازی سایش نازل انژکتور و مقادیر مورداستفاده برای آن‌ها در جدول ۲ ارائه شده است. شماتیک فاصله بحرانی برخورد حباب‌ها در شکل ۶ ارائه شده است [۱۵]. همچنین برای کوپل فشار-مومنتوم نیز از الگوریتم سیمپل استفاده شده است.

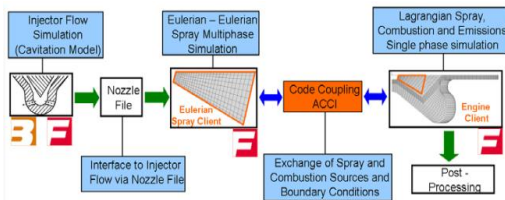


شکل ۵- پروفیل جابه‌جایی سوزن حسب زاویه میل لنگ [۱۱]



شکل ۶- شماتیک فاصله بحرانی در شبیه‌سازی سایش

نازل انژکتور [۱۵]

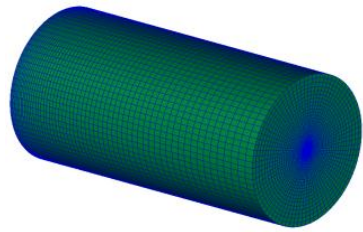


شکل ۹- شماتیک فرایند شبیه‌سازی انژکتور، اسپری سوخت و احتراق موتور

ایجاد هندسه و شبکه‌بندی آن با کمک قسمت محیط شبیه‌سازی موتور دیزل در نرم‌افزار فایر صورت گرفته است. مشخصات موتور و انژکتور آن و همچنین شرایط هوای داخل محفظه احتراق در ابتدای تراکم به ترتیب در جدول‌های ۴ و ۵ آورده شده است. سوخت مورداستفاده، نرمال هپتان با ارزش حرارتی  $45/1$  مگاژول بر کیلوگرم می‌باشد. مدل احتراق مورداستفاده شعله منسجم و زیرشاخه سه‌قسمتی گسترش یافته می‌باشد. این مدل احتراقی شامل سه ناحیه است: ناحیه‌ای شامل سوخت، ناحیه‌ای شامل هوا و گازهای خروجی باز خورانی شده و قسمت سوم ناحیه اختلاط است که شامل گازهای سوخته و نسخه می‌باشد [۲۰]. شماتیک این مدل احتراقی در شکل ۱۰ آورده شده است. مدل k-epsilon توربولانسی مورداستفاده در

فروپاشی اولیه قطرات اسپری سوخت از روش قطره ویسکوز، در فروپاشی ثانویه قطرات اسپری سوخت از روش موج استاندارد، برای پیش‌بینی مقدار تبخیر ایجادشده در قطرات اسپری سوخت از روش تبخیر داکوویچ، برای مدل اثر دیواره از جت دیواره ۱ و برای سرعت شعله آرام از مدل متقالچی و کک استفاده شده است. برای حل معادلات فشار-مومنتوم از الگوریتم SIMPLE- PISO استفاده شده است. این الگوریتم برای جریان‌های تراکم پذیر و گذرا مناسب بوده و به

افرايش دقت محاسبات عددی در محل پاشش سوخت از شبکه‌بندی ریزتر استفاده شده است. مدت زمان کل تزریق سوخت  $0.8$  میلی ثانیه و گام زمانی مورد استفاده در حل از  $10^{-8}$  ثانیه تا  $10^{-7}$  ثانیه دارای گام‌های کوچک‌تر در مراحل شروع حل عددی می‌باشد [۱۶]. شبیه‌سازی اسپری حاصل با توجه به نتایج بررسی استقلال حل از شبکه (طول نفوذ اسپری برای مقادیر متفاوت سلول محاسباتی) [۱۱]، در تعداد سلول محاسباتی  $248000$  صورت گرفته است. سیال درون محفظه احتراق استوانه‌ای هوای متراکم (دارای فشار  $10$  بار و دمای  $300$  کلوین) می‌باشد. مدل آشفتگی مورد استفاده روش k-epsilon می‌باشد. برای کوپل فشار-ممنتوم از الگوریتم سیمپل استفاده شده است.



## شکل ۸- هندسه و شبکه محاسباتی ایجاد شده برای محفظه احتراق

### ۴-۳ احتراق و آلایندگی موتور

به منظور بررسی تأثیر تغییر هندسه نازل انژکتور و افزایش شدت توربولانسی درون محفظه احتراق موتور دیزل بر عملکرد و آلایندگی آن، ابتدا موتور دیزل با انژکتور متداول آن شبیه‌سازی شده است. به منظور شبیه‌سازی احتراق در موتور از نرم‌افزار فایر استفاده شده است. در شکل ۹ نمایی از فرایند شبیه‌سازی انژکتور، اسپری سوخت و احتراق موتور ارائه شده است.

مورداستفاده در این مقاله بر اساس ویاسو می-باشد. این الگو شامل دو فرایند شکل‌گیری و اکسایش دوده می‌باشد و بر اساس آن نخ تغییر در جرم دوده برابر با اختلاف نرخ تشکیل دوده و نرخ اکسایش آن می‌باشد. دوده اکسایش یافته و به وجود آمده به صورت زیر مدل می‌شود [۲۱]:

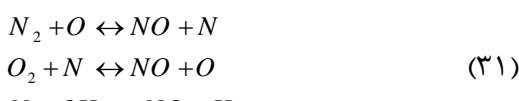
$$\frac{dM_{soot}}{dt} = \frac{dM_{form}}{dt} - \frac{dM_{oxide}}{dt} \quad (28)$$

که در آن تشکیل دوده و آهنگ اکسایش آن بر طبق روابط زیر محاسبه می‌شوند:

$$\frac{dM_{form}}{dt} = A_f M_{fv} P^{0.5} \exp\left(-\frac{E_f}{RT}\right) \quad (29)$$

$$\frac{dM_{oxide}}{dt} = \frac{6MW_c}{\rho_s D_s} M_s R_{tot} \quad (30)$$

الگوی نیتروژن اکسید مورداستفاده نیز مدل زلدویچ توسعه یافته می‌باشد. این الگو بهشت زنده باشندگان اکسایش و اکسیژن را با دما بوده و با واکنش نیتروژن و اکسیژن موجود در هوا در دماهای بالا تولید می‌شود. در این مدل کاهش شیمیایی چند مرحله‌ای بر اساس تعادل جزئی واکنش‌های مقدماتی به صورت زیر می‌باشد [۲۱]:



واکنش کلی زیر از ضرب کردن طرفهای راست و چپ معادله فوق به دست می‌آید:



آهنگ تشکیل اکسید نیتروژن از طریق رابطه زیر محاسبه می‌شود:

$$\frac{d[NO]}{dt} = 2k_f [N_2][O_2] \quad (33)$$

آهنگ واکنش نیز از طریق رابطه زیر محاسبه می‌شود:

همین علت در شبیه‌سازی احتراق موتور دیزل موردنظر استفاده شده است [۲۰].

جدول ۴- مشخصات موتور دیزل شبیه‌سازی شده [۱۱]

۴	تعداد سیلندر (عدد)
۰/۱۳۷۱۹	قطر استوانه (m)
۰/۱۶۵۱	فاصله جابه‌جایی (m)
۱۵/۱	نسبت تراکم (-)
۰/۲۶۱۶۲	طول شاتون (m)
۱۲۵	زاویه افشاره سوخت (deg)
۱۶۰۰	سرعت دورانی (rpm)
۱۶۲/۲	میزان سوخت تزریقی در هر سیکل (mg)
۱۴۷	بسته شدن سوپاپ ورودی (BTDC)
۱۳۴	بازشدن سوپاپ خروجی (ATDC)
۷۱۱/۵	شروع پاشش سوخت (deg)
۲۱/۵	مدت پاشش سوخت (deg)
۶	تعداد سوراخ انژکتور
۲/۴۴	حجم جابه‌جایی (lit)
Mexican hat	شکل کاسه سنبه
	تغذیه مشترک

جدول ۵- شرایط هوای داخل سیلندر در ابتدای تراکم

[۱۱]

۳۴۴	دما (K)
۲۰۰	فشار (KPa)
.	گاز خروجی بازخورانی شده (٪) EGR

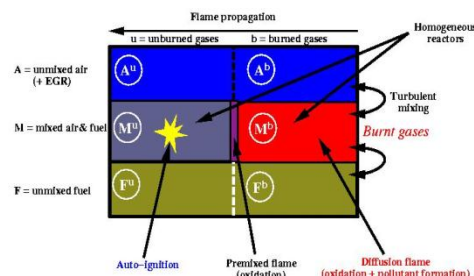
۹۶

سال ۱۱- شماره ۲  
-----  
پاییز و زمستان ۱۴۰۱  
نشریه علمی  
دانش و فناوری هوا فضای



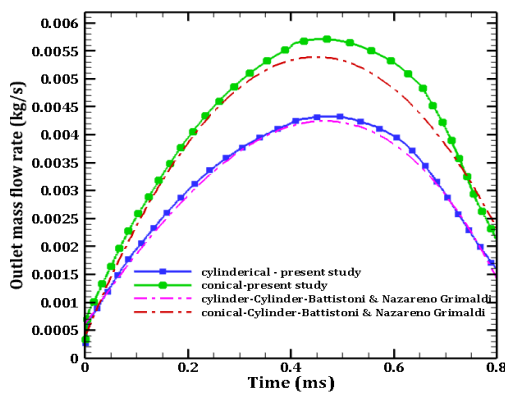
مشخصات نیزه و آلانگ کی محفوظه احتراق  
بررسی تأثیر استفاده نازل مارپیچ و فشرنیش فشار نزدیک

### الگوی آلانگ کی هیر

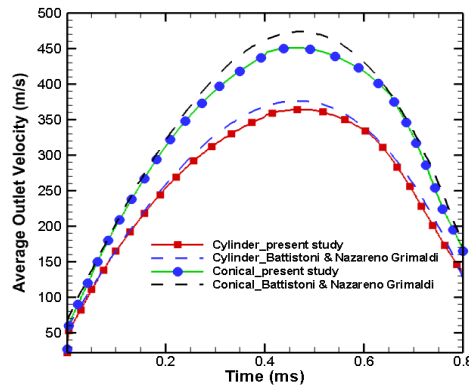


شکل ۱۰- شماتیک مدل احتراقی ECFM-3Z

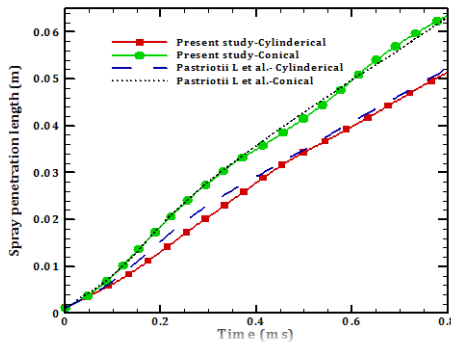
به منظور کاهش مدت زمان محاسبات عددی و شرط تقارن هندسه، شبیه‌سازی تنها یک ششم از کل هندسه موتور صورت گرفته است. مدل دوده



(الف)



(ب)



(ج)

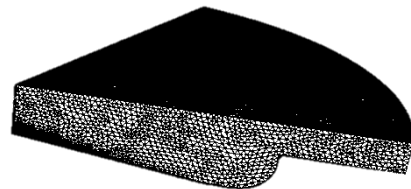
شکل ۱۲- اعتبارسنجی نتایج عددی اسپری با نتایج تجربی موجود [۲۲]، (الف) دبی جرمی، (ب) و سرعت متوسط سوخت مایع در خروجی نازل، (ج) طول نفوذ حاصل از شبیه‌سازی اسپری

## ۲-۵- محفظه احتراق

به منظور بررسی دقیق نتایج حاصل از شبیه‌سازی موتور، به مقایسه نتایج عددی با نتایج تجربی پرداخته شده است. شکل ۱۳ نمودار فشار

$$k_f = \frac{a}{\sqrt{T}} \exp\left(-\frac{E_a}{RT}\right) \quad (34)$$

در روابط فوق،  $M_{form}$  جرم دوده تشکیل شده،  $M_{soot}$  جرم دوده اکسیدشده،  $A_f$  ثابت پیش توان دوده،  $T$  دما بر حسب کلوین،  $R$  ثابت عمومی آرنیوس،  $P$  فشار بر حسب بار،  $M_s$  جرم گاز،  $E$  انرژی فعال‌سازی هیرویاسو،  $k_f$  دوده و  $a$  انرژی جنبشی آشفتگی مربوط به تشکیل دوده می‌باشد. برای بررسی استقلال حل از شبکه‌بندی، سه شبکه‌بندی دارای تعداد سلول‌های مختلف ایجاد شده و با توجه به نتایج حاصل، از شبکه محاسباتی دارای ۳۲۵۶۳ سلول محاسباتی استفاده شده است. شبکه‌بندی موتور دیزل در این حالت در نقطه مرگ بالا در شکل ۱۱ نشان داده شده است.



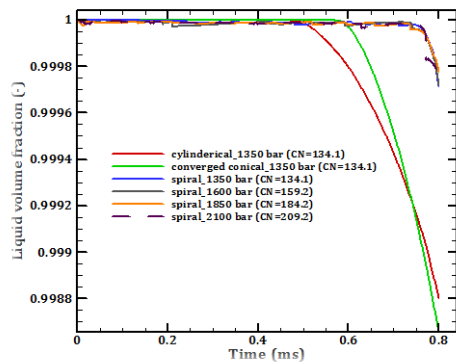
شکل ۱۱- شبکه‌بندی موتور دیزل کاترپیلار در نقطه مرگ بالا

## ۵- صحت‌سنجی نتایج

### ۵-۱- انژکتور و اسپری

به منظور بررسی دقیق نتایج عددی شبیه‌سازی انژکتور و اسپری حاصل، ب داده‌های دبی جرمی و سرعت متوسط سوخت مایع در خروجی نازل و همچنین طول نفوذ حاصل از شبیه‌سازی اسپری سوراخ نازل‌های استوانه‌ای و مخروطی همگرا با نتایج تجربی موجود [۲۲] مقایسه و نتایج حاصل در شکل ۱۲ ارائه شده است. با توجه به نتایج، تطابق خوبی بین نتایج حاصل به دست آمده است و بیانگر دقیق حل کد موردنظر می‌باشد.

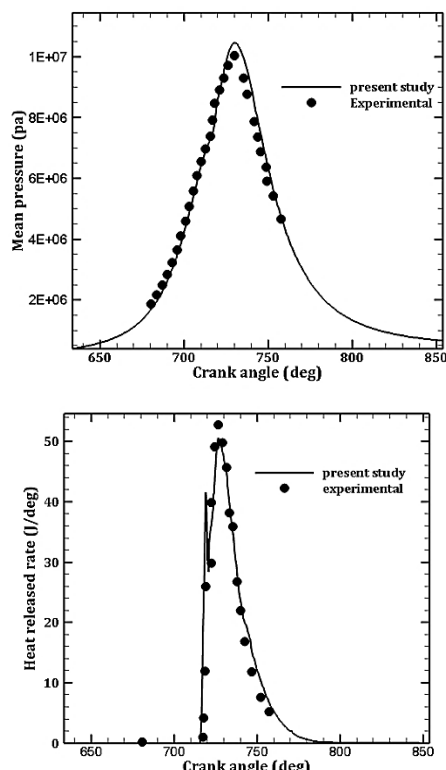
استفاده از خان درون نازل انژکتور به دلیل حرکت چرخشی آن و افت فشار کمتر می‌باشد که منجر به کاهش شدت وقوع کاویتاسیون می‌شود. همچنین با افزایش فشار تزریق سوخت، اختلاف فشار بین ورودی و خروجی سوخت انژکتور افزایش یافته و کاویتاسیون با شدت بیشتری درون نازل رخ می‌دهد. همچنین با افزایش فشار تزریق، عدد بدون بعد کاویتاسیون (CN) نیز افزایش می‌یابد.



شکل ۱۴- کسر حجمی فاز مایع محاسبه شده در حالت‌های مختلف هندسه نازل و فشار تزریق سوخت

می‌توان گفت در حالت کلی کاویتاسیون مهم‌ترین دلیل سایش و خوردگی و آسیب‌رسانی در لوله‌ها، پمپ‌ها و شیرها و نازل‌های سوخت می‌باشد. ایجاد شیار و جریان چرخشی ناشی از آن، منجر به کاهش شدت وقوع کاویتاسیون و همچنین به تأخیر انداختن مدت‌زمان وقوع آن می‌شود. درواقع علاوه بر پارامترهای فشار تزریق، فشار خروجی نازل و همچنین فشار بخار سوخت، تغییر هندسه نازل سیستم سوخت‌رسانی تأثیر مهمی بر شدت و زمان وقوع کاویتاسیون دارد. نتایج مربوط به توزیع کسر حجمی فاز بخار درون سوراخ نازل انژکتور بدون شیار و دارای شیار برای هندسه‌ها و شارهای مختلف پاشش در شکل ۱۵ ارائه شده است.

متوسط داخل سیلندر و نرخ حرارت آزادشده بر حسب زاویه میل لنگ را در حالت شبیه‌سازی شده و مرجع [۲۳] نشان می‌دهد. با توجه به این شکل، تطابق خیلی خوبی بین نتایج تجربی و عددی وجود دارد.

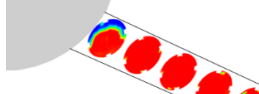


شکل ۱۳- اعتبارسنجی نتایج عددی با داده‌های تجربی موجود، فشار متوسط درون سیلندر (بالا) و نرخ آزادسازی حرارت (پایین)

## ۶- بحث و بررسی نتایج عددی

### ۶-۱ انژکتور

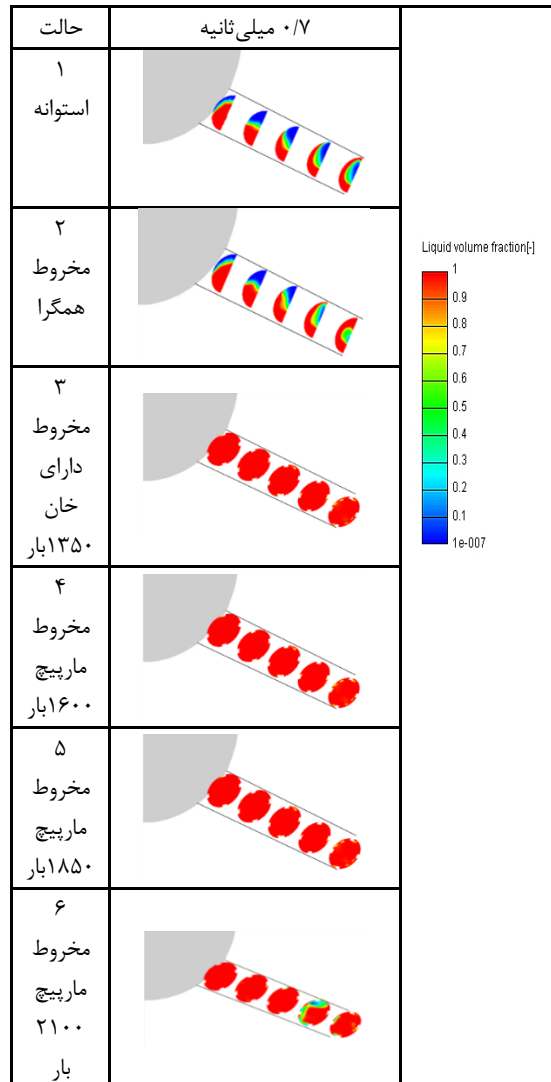
به منظور بررسی شدت وقوع پدیده کاویتاسیون درون نازل انژکتور کسر حجمی فاز مایع در هندسه‌ها و فشارهای مختلف تزریق سوخت در شکل ۱۴ بررسی شده است. با توجه به این شکل، پدیده کاویتاسیون درون نازل‌های استوانه‌ای و مخروطی همگرا نسبت به نازل مخروطی همگرا دارای خان و فشارهای تزریق بالاتر، با شدت بیشتری رخ داده است که دلیل آن

<p>٥</p> <p>مخروط ماربيج بار ١٨٥٠</p>		
<p>٦</p> <p>مخروط ماربيج بار ٢١٠٠</p>		

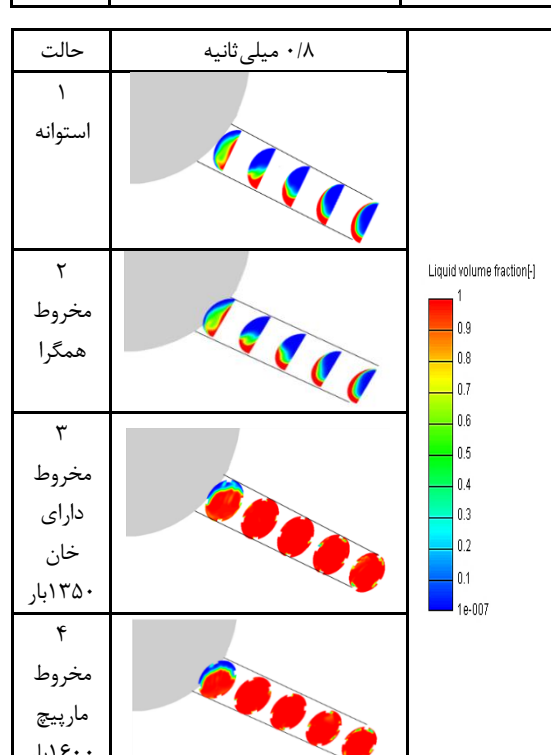
شکل ۱۵- کانتور کسر حجمی فاز بخار درون نازل برای  
حالت‌های مختلف هندسه نازل و فشار تزریق سوخت

## ۱-۱. اسپری سوخت مایع

فشار تزریق سوخت یکی از پارامترهای تأثیرگذار بر مشخصات افسانه حاصل از پاشش سوخت می‌باشد. دبی جرمی خروجی از نازل با جذر تفاضل فشار تزریق و فشار محیط مناسب است. بنابراین با افزایش فشار تزریق، دبی جرمی و سرعت خروجی از نازل نیز افزایش می‌یابد. با افزایش فشار از ۱۳۵۰ بار به ۱۶۰۰، ۱۸۵۰ و ۲۱۰۰ بار میزان دبی جرمی به ترتیب ۹، ۱۷/۱۸ و ۲۵ درصد افزایش می‌یابد. نتایج مربوط به دبی نازل از ۱۶۰۰ بار تزریق نشان می‌دهند که این دبی در



جرمی و سرعت حروجی نازل در شکل‌های ۱۶ و ۱۷ آورده شده است. با افزایش دبی جرمی خروجی از نازل، میزان جرم پاشش شده به درون محفظه احتراق نیز افزایش می‌یابد. علاوه بر افزایش جرم تزریقی به درون محفظه احتراق، به دلیل افزایش فشار، میزان انرژی ورودی به محفظه احتراق نیز افزایش می‌یابد. با افزایش فشار تزریق و انرژی ورودی به محفظه احتراق، میزان جرم بخار شده افزایش خواهد یافت. در شکل‌های ۱۸ و ۱۹ نمودار طول نفوذ افشاره و قطر متوسط ساتر در هر حالت بر حسب مدت زمان پاشش آورده شده است. با توجه به این شکل با افزایش فشار تزریق سوخت، طول نفوذ آن افزایش یافته است. با افزایش فشار تزریق، انرژی و

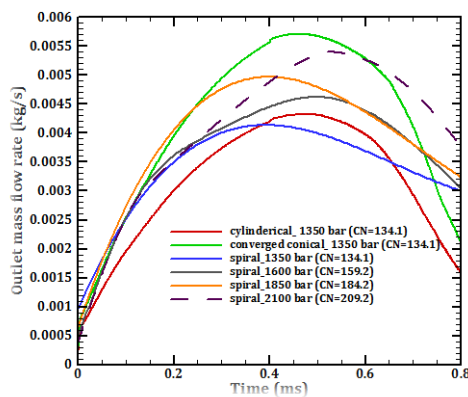


مومنتوم سوخت ورودی افزایش یافته و به افزایش طول نفوذ افشاره سوخت منجر می‌شود. همچنین با توجه به این شکل با افزایش فشار تزریق، اتمیزاسیون سوخت بهتر صورت گرفته و قطر متوسط ذرات کاهش می‌یابد. دلیل این امر افزایش انرژی مولکول‌های سوخت و افزایش احتمال انهدام قطرات سوخت در هنگام برخورد با یکدیگر و برخورد با هوای متراکم می‌باشد. عدد کاوبیتاسیون محاسبه شده در هر حالت در شکل ۲۰ ارائه شده است. با افزایش فشار پاشش، عدد CN افزایش ولی عدد  $k$  کاهش می‌یابد. ساختار افشاره محاسبه شده در هر حالت در شکل ۲۱ آورده شده است. با افزایش فشار تزریق سوخت، زاویه مخروطی افشاره کاهش می‌یابد. با افزایش فشار تزریق، مومنتوم سوخت افزایش یافته و این افزایش مومنتوم در راستای پاشش سبب افزایش حرکت سوخت در راستای محور پاشش می‌شود. همچنین قدرت ورتکس (گردابه) ایجاد شده در راستای پاشش افزایش یافته و نهایت ذرات افشاره سوخت به سمت محور پاشش هدایت می‌شوند. به همین علل، زاویه مخروطی افشاره با افزایش فشار کاهش می‌یابد.

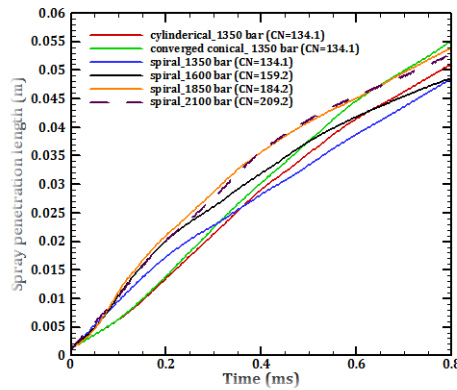
۱۰۰  
سال ۱۱ - شماره ۲  
پاییز و زمستان ۱۴۰۱  
نشریه علمی  
دانش و فناوری هوا فضای



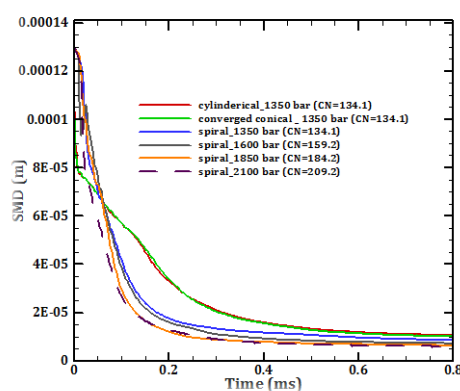
مشخصات خروجی و آلباند کی محفظه احتراق  
دررسی تأثیر استفاده نازل ماریچ و فریبنش فشار تزریق بر



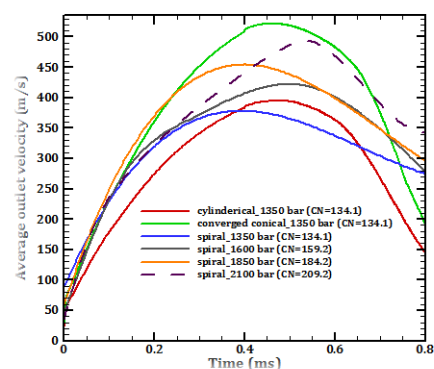
شکل ۱۷- دبی جرمی محاسبه شده در خروجی نازل برای حالت‌های مختلف هندسه نازل و فشار تزریق سوخت



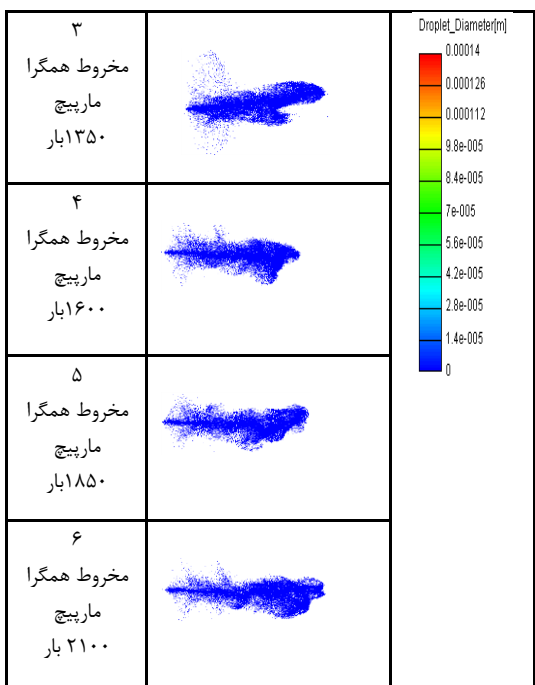
شکل ۱۸- طول نفوذ اسپری محاسبه شده در حالت‌های مختلف هندسه نازل و نوع سوخت



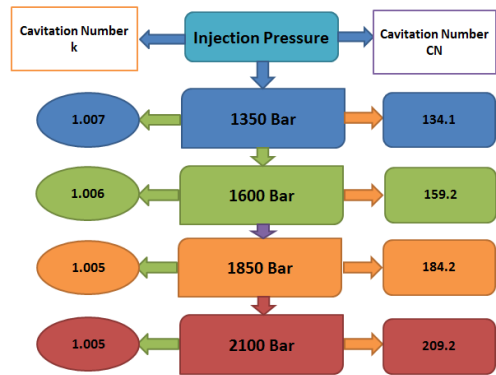
شکل ۱۹- قطر متوسط ذرات محاسبه شده در حالت‌های مختلف هندسه نازل و نوع سوخت



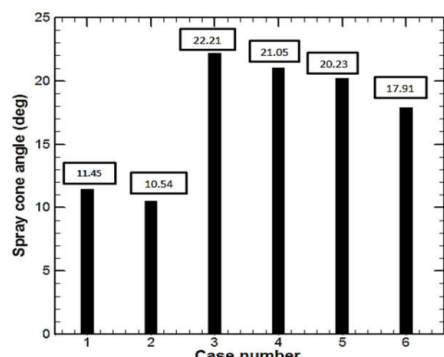
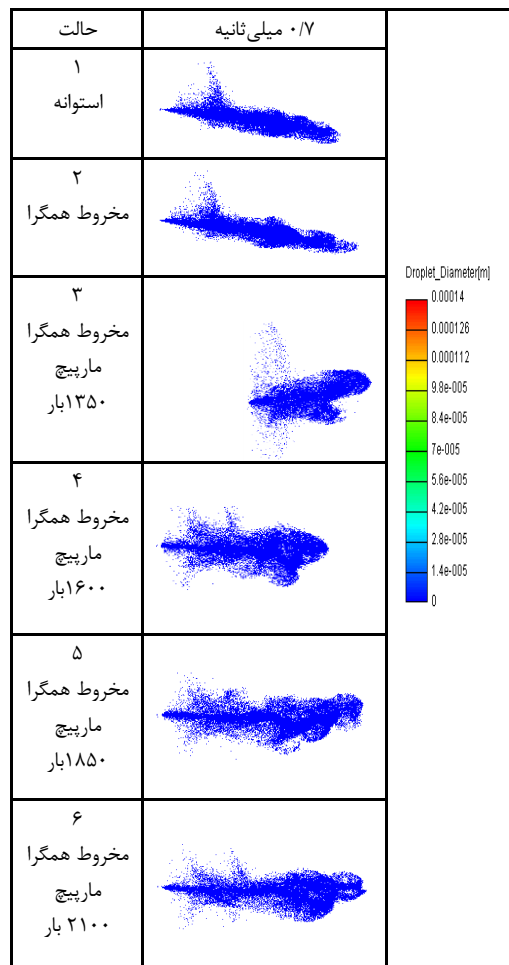
شکل ۱۶- سرعت متوسط محاسبه شده در خروجی نازل برای حالت‌های مختلف هندسه نازل و فشار تزریق سوخت



(الف)



شکل ۲۰- فشار تزریق سوخت مایع در هر حالت و عدد کاویتاسیون مربوط (وینگهوفر و نوریک)



(ب)

شکل ۲۱-(الف) ساختار افسانه محاسبه شده در خروجی نازل برای حالت های مختلف هندسه نازل و فشار تزریق سوخت، (ب) زاویه مخروطی افسانه

### ۳-۶- موتور

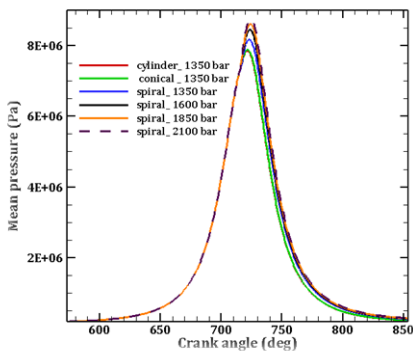
#### ۱-۳- عملکرد و مشخصات خروجی

به منظور بررسی تأثیر استفاده از نازل مارپیچ و افزایش فشار تزریق سوخت بر عملکرد و مشخصات خروجی موتور، پارامترهای توان و گشتاور تولیدی و همچنین مصرف سوخت ویژه در هر حالت بررسی و نتایج حاصل در جدول ۶ آورده شده است.

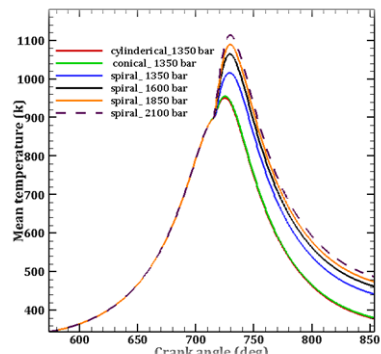
حالت	۰/۸ میلی ثانیه
۱	
۲	



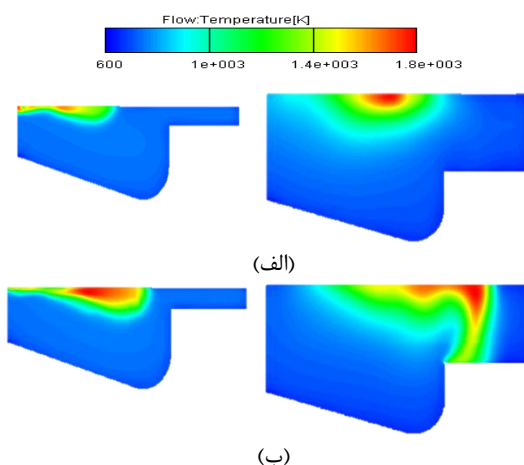
و درنهایت قسمت‌هایی از مخلوط دمابالا به سمت دیواره منتقل می‌شود. همچنین نتایج مربوط به تغییرات نسبت هم ارزی و کانتور دوبعدی توزیع آن در زوایای  $30^\circ$  و  $60^\circ$  درجه پس از نقطه مرگ بالا در شکل‌های ۲۵ و ۲۶ ارائه شده است.



شکل ۲۲- فشار متوسط محاسبه شده برای حالت‌های مختلف هندسه نازل و فشار تزریق سوخت



شکل ۲۳- دمای متوسط محاسبه شده برای حالت‌های مختلف هندسه نازل و فشار تزریق سوخت



شکل ۲۴- کانتور دوبعدی دما در نقاط  $30^\circ$  و  $60^\circ$  درجه بعد از نقطه مرگ بالا (الف) نازل استوانه، (ب) نازل مارپیچ فشار ۲۱۰۰ بار

#### جدول ۶- پارامترهای خروجی مربوط به عملکرد موتور در هر حالت

ردیف	توان تولیدی	گشتاور تولیدی	صرف سوخت
۱	۱/۹۲	۱۱/۴۷	۰/۳۱۶۶
۲	۲/۱	۱۲/۵۶	۰/۳۰۷۳
۳	۳/۱۴	۱۸/۷۱	۰/۲۱۴۳
۴	۳/۸۶	۲۳/۰۳	۰/۲۰۰۵
۵	۴/۴	۲۶/۲۹	۰/۱۹۴۶
۶	۴/۷	۲۸/۶۱	۰/۱۹۱۷

نازل مخروطی همگرا دارای خان و فشار تزریق بالاتر نسبت به حالت اولیه، دارای مقدار جرم پاشش شده بیشتری به درون محفظه احتراق می‌باشد. با افزایش فشار تزریق، میزان جرم، انرژی و مومنتوم ورودی به درون محفظه احتراق افزایش یافته و همچنین کیفیت اتمیزاسیون سوخت بهبود یابد.

بنابراین تغییر همزمان هندسه، ایجاد خان درون نازل و همچنین افزایش فشار تزریق سوخت موجب افزایش توان و گشتاور و کاهش مصرف سوخت ویژه و درنتیجه بهبود عملکرد موتور دیزل موردنظر شده است.

با افزایش فشار تزریق سوخت از ۱۳۵۰ بار به ۲۱۰۰ بار، مصرف سوخت ۳۸ درصد کاهش و توان و گشتاور تولیدی آن افزایش می‌یابد.

در شکل‌های ۲۲ و ۲۳ تغییرات فشار و دمای متوسط درون محفظه احتراق را مشاهده می‌کنیم. شکل ۲۴ کانتورهای دوبعدی توزیع دما درون محفظه احتراق در زوایای  $30^\circ$  و  $60^\circ$  درجه پس از نقطه مرگ بالا برای فشار تزریق ۱۶۰۰ بار آورده شده است. با توجه به این شکل احتراق سوخت از قسمت مرکزی شروع شده و رفتارهایی به سمت بدنه سیلندر حرکت می‌کند. با توجه به نتایج توزیع دما درون محفظه احتراق، در تمامی حالت‌ها احتراق از قسمت مرکزی شروع می‌شود و رفتارهایی به سمت بدنه سیلندر حرکت می‌کند. البته در ابتدای حرکت به سمت بدنه سرعت حرکت شعله زیاد می‌باشد که با انبساط محفظه احتراق از سرعت آن کاسته شده

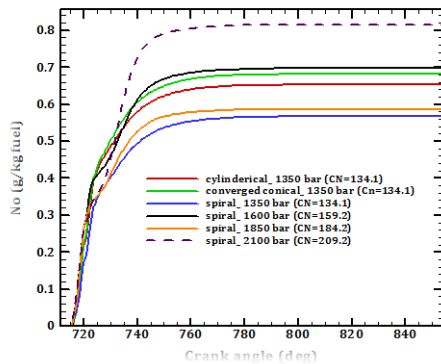


#### جدول ۷- پارامترهای خروجی مربوط به نشر آلایندگی

موتور در هر حالت

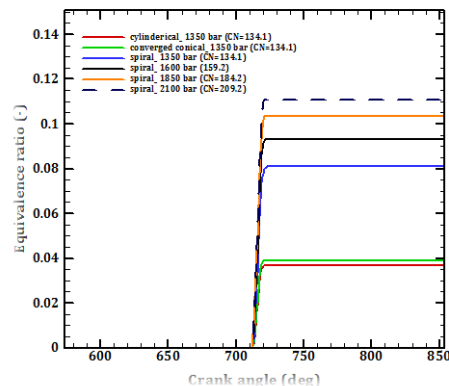
ردیف	NO(g/kg-fuel)	CO(g/kg-fuel)
۱	۰/۶۶۲	۱۰۰
۲	۰/۶۸۲	۱۰۹
۳	۰/۵۶۸	۷۷/۲
۴	۰/۶۹۸	۴۵/۵
۵	۰/۵۸۷	۴۹/۷
۶	۰/۸۱۶	۳۷/۶

در شکل ۲۷ میزان تولید آلاینده اکسید نیتروژن در حالت‌های مختلف بر حسب زاویه میل لنگ آورده شده است. با توجه به این شکل می‌توان نتیجه گرفت که استفاده از نازل دارای شیار موجب بهبود رفتار موتور از لحاظ تولید آلاینده اکسید نیتروژن شده است.

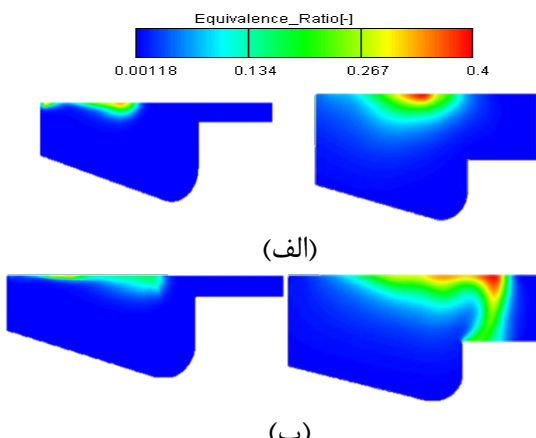


شکل ۲۷- آلینده نیتروژن اکسید محاسبه شده برای  
حالات های مختلف هندسه نازل و فشار تزییق سوخت

در شکل ۲۸ میزان تولید آلاینده دوده در  
حالتهای مختلف بر حسب زاویه میل لنگ آورده  
شده است. با پاشش سوخت به درون محفظه  
احتراق و شروع فرایند احتراق و به تبع آن بالا  
رفتن دمای محفظه، به دلیل عدم اکسیژن رسانی  
کافی و مناسب به سوخت در حال احتراق، ابتدا  
مقدار دوده افزایش یافته ولی با اتمام احتراق به  
علت انبساط محفظه و دما و شدت توربولانسی  
ایجاد شده مناسب، دوده ایجاد شده اکسیدشده و  
لذا کاهش می‌یابد. با توجه به این شکل، در  
تمامی هندسه‌های مختلف نازل انژکتور، دوده  
به خوبی در انتهای فرایند احتراق اکسایش یافته و



شکل ۲۵- نسبت هم ارزی محاسبه شده برای حالت های مختلف هندسه نازل و فشار تزریق سوخت

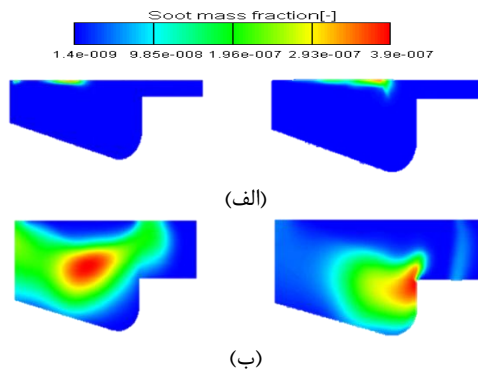


شکل ۲۶- کانتور دو بعدی نسبت هم ارزی در نقاط ۳۰ و ۶ درجه بعد از نقطه مرگ بالا، (الف) نازل استوانه، (ب) نازل مارپیچ فشار ۲۱۰ بار

## ۶-۳-۲- نشر آلایندگی‌ها

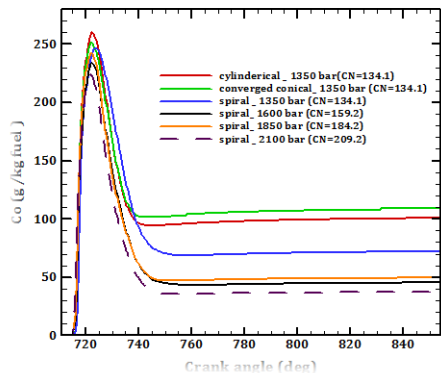
به منظور بررسی تأثیر تغییرات اعمال شده بر آلایندگی خروجی از موتور، مقادیر آلایندگهای اکسید نیتروژن، دوده و مونوکسید کربن در خروجی موتور بررسی شده است. نتایج حاصل در جدول ۷ آورده شده است.

با افزایش فشار تزریق سوخت از ۱۳۵۰ بار به ۲۱۰ بار، آلاینده مونوکسید کربن ۶۵ درصد کاهش و آلاینده اکسید نیتروژن ۲۰ درصد افزایش می‌یابد.



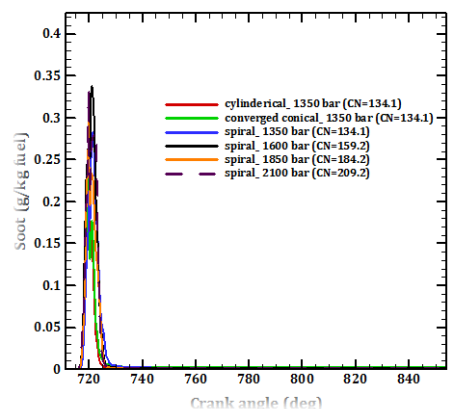
شکل ۳۰- کانتور دوبعدی دوده در نقاط ۳۰ و ۶۰ درجه بعد از نقطه مرگ بالا (الف) نازل استوانه، (ب) نازل مارپیچ فشار ۲۱۰۰ بار

در شکل ۳۱ میزان تولید آلاینده مونوکسید کربن در حالت‌های مختلف بر حسب زاویه میل-لنگ و در شکل ۳۲ کانتورهای دوبعدی توزیع مونوکسید کربن درون محفظه احتراق در زوایای ۳۰ و ۶۰ درجه پس از نقطه مرگ بالا آورده شده است. با توجه به شکل با ایجاد جریان چرخشی و افزایش زاویه پاشش سوخت، دمای محفظه احتراق و میزان اکسیداسیون کربن افزایش یافته و میزان مونوکسید کربن تولیدی کاهش می‌یابد. به دلیل وجود هوای اضافی در موتورهای دیزل نسبتاً مقدار این آلاینده کم می‌باشد. در صورتی که مقدار سوخت افزایش و مقدار هوا کاهش یابد، میزان تولیدی آلاینده مونوکسید کربن افزایش خواهد یافت.



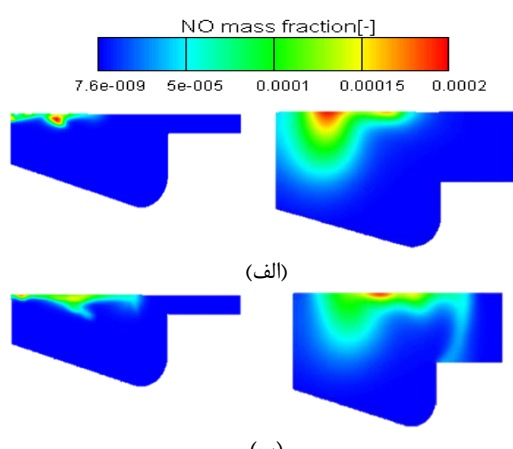
شکل ۳۱- آلاینده مونوکسید کربن محاسبه شده برای حالت‌های مختلف نازل و فشار تزریق سوخت

از بین می‌رود و بنابراین موتور از لحاظ تولید آلاینده دوده مشکلی ندارد.



شکل ۲۸- آلاینده دوده محاسبه شده برای حالت‌های مختلف هندسه نازل و فشار تزریق سوخت

در شکل ۲۹ کانتورهای دوبعدی توزیع اکسید نیتروژن و در شکل ۳۰ کانتورهای دوبعدی مربوط به توزیع دوده درون محفظه احتراق در زوایای ۳۰ و ۶۰ درجه پس از نقطه مرگ بالا آورده شده است. با توجه به این شکل‌ها، آلاینده دوده نیتروژن بیشتر در نقاط دماپایین تشکیل می‌شود. این دو آلاینده رفتار متضادی دارند و با کاهش یکی، دیگری افزایش می‌یابد.



شکل ۲۹- کانتور دوبعدی اکسید نیتروژن در نقاط ۳۰ و ۶۰ درجه بعد از نقطه مرگ بالا (الف) نازل استوانه، (ب) نازل مارپیچ فشار ۲۱۰۰ بار

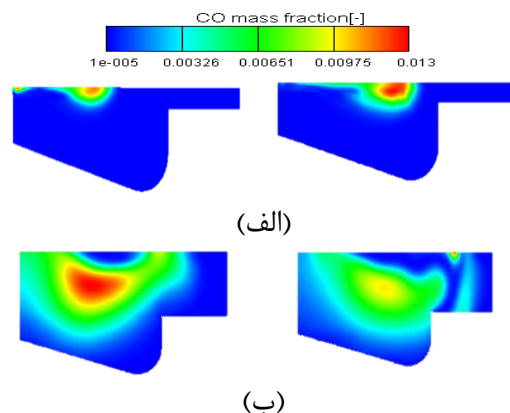




شده است. تأثیر هر کدامیک از راهکارهای پیشنهادشده با کمک مدل عددی سه بعدی در نرم افزار ای وی ال فایر، که با داده های تجربی موجود در هر قسمت صحبت سنجی شده است، بر عملکرد موتور دیزل و تولید آلایندگی آن بررسی شده است. نتایج عددی حاصل نشان می دهند که ایجاد خان درون نازل به ایجاد جریان چرخشی افشاره سوخت، افزایش زاویه مخروطی افشاره و شدت توربولانسی درون محفظه احتراق منجر می شود. افزایش زاویه مخروطی افشاره حاصل، عملکرد موتور دیزل را از طریق کاهش مصرف سوخت و افزایش توان و گشتاور تولیدی بهبود بخشد و میزان تولید آلایندگی اکسید نیتروژن و مونوکسید کربن به دلیل ایجاد مخلوط سوخت و هوای بهتر، افزایش شدت توربولانسی و مقدار دمای متوسط درون محفظه احتراق، به مقدار مناسبی کاهش می یابد. همچنین افزایش فشار تزریق می تواند عملکرد موتور دیزل را بهبود ببخشد. از نکات منفی افزایش فشار تزریق سوخت می توان به افزایش میزان تولید آلایندگی اکسید نیتروژن اشاره کرد. همچنین محدودیت هایی نیز برای افزایش فشار به دلیل مقاومت مواد و هزینه سیستم سوخت رسانی و فناوری ساخت وجود دارد. با افزایش فشار تزریق سوخت از ۱۳۵۰ بار به ۲۱۰۰ بار، مصرف سوخت ۳۸ درصد کاهش و توان و گشتاور تولیدی آن افزایش می یابد. با افزایش فشار تزریق سوخت از ۱۳۵۰ بار به ۲۱۰۰ بار، آلایندگی مونوکسید کربن ۶۵ درصد کاهش و آلایندگی اکسید نیتروژن ۲۰ درصد افزایش می یابد.

## ۸. مأخذ

- [1] Heywood, J. B., "Internal Combustion Engine Fundamentals", McGraw-Hill, Inc., New York, 1998.
- [2] Firuzi, R., "Combustion optimization using change in nozzle geometry and creating swirl flow", Msc Thesis, Imam Khomeini



شکل ۳۲- کانتور دوبعدی مونوکسید کربن در نقاط ۳۰ و ۶۰ درجه بعد از نقطه مرگ بالا، (الف) نازل استوانه، (ب) نازل مارپیچ فشار ۲۱۰۰ بار

افزایش فشار تزریق سوخت در حالت نازل دارای خان منجر به افزایش میزان نیتروژن اکسید تولیدی می شود. افزایش فشار منجر به انمیزاسیون بهتر و اختلاط بیشتر آن با هوا می شود اما در این حالت دمای های موضعی و اکسیژن در نواحی غنی در نزدیکی شروع فرایند احتراق و مقدار آلایندگی تولیدی اکسید نیتروژن افزایش می یابد. از طرف دیگر افزایش فشار ممکن است باعث برخورد افشاره سوخت با دیواره محفظه احتراق شود. همچنین محدودیت هایی نیز برای افزایش فشار به دلیل مقاومت مواد و هزینه سیستم سوخت رسانی و ... وجود دارد. با ایجاد خان درون نازل مخروطی همگرا و افزایش فشار تزریق سوخت، میزان جرم پاشیده شده به درون محفظه احتراق و همچنین شدت توربولانسی، مقدار دما و فشار متوسط درون محفظه احتراق و راندمان احتراق افزایش می یابد. با افزایش دمای متوسط و راندمان احتراق، میزان آلایندگی مونوکسید کربن نیز کاهش می یابد.

## ۷- نتیجه گیری

در مقاله حاضر تأثیر استفاده از نازل مارپیچ و افزایش فشار تزریق سوخت مایع بر عملکرد و نشر آلایندگی دوده، اکسید نیتروژن و مونوکسید کربن محفظه احتراق یک سیستم پیشرانش بررسی

- Sahand University of Technology, 2004 (In Persian).
- [11] A. H. Farajollahi, R. Firuzi, M. Rostami & F. Bagherpoor, Consideration of the effects of increasing spray cone angle andturbulence intensity on heavy-dutydiesel engine pollution and specificoutputs using CFD,International Journal of Engine Research, Article in Press, 2022.
- [12] Nishida, K., Zhang, W., Manabe, T., "Effects of micro-hole and ultra-high injection pressure on mixture properties of diesel spray", SAE International, 2007.
- [13] Farajollahi, A., Firuzi, R., Salimi, M., Rostami, M. (2021). Numerical study on the effects of nozzle geometry and creating swirl flow inside the injector nozzle on the performance of an engine. *Journal of Space Science and Technology*, article in press, doi: 10.30699/jsst.2021.249117.1303.
- [14] Farajollahi, A.H., Firuzi, R., Pourseifi, M., Mardani, A., and Rostami, M., "Numerical investigation of the effect of swirl and needle lift profile change on the diesel fuel spray behavior", *Journal of Engine Research*, Vol. 54, pp. 25-38, 2019 (In Persian).
- [15] Avl List GmbH. AVL Fire v. 2013, CFD solver, Eulerian multiphase, 2013.
- [16] Avl List GmbH. AVL Fire v. 2013, CFD solver, Spray, 2013.
- [17] C. Schugger, U. Renz, "Experimental investigations on the primary breakupzone of high pressure diesel sprays from multiorifice nozzles", in: ICLASS, Europe 03, 2003.
- [18] M. Mhlbauer, Modelling wall interactions of a high-pressure, hollow cone spray, PhD thesis, Technical University of Darmstadt, 2009.
- [19] R.H. Perry, and D.W. Green, Perry's chemical engineer's handbook, McGraw-Hill, 1997.
- [20] Avl List GmbH. AVL Fire v. 2013, CFD solver, Combustion, 2013.
- [21] Avl List GmbH. AVL Fire v. 2013, CFD solver, Emmision, 2013.
- [22] Postrioti L, Grimaldi CN, Ceccobello M, Di Gioia R, Diesel common rail injection system behavior with different fuels, SAE Technical paper 2004-01-0029, 2004.
- [23] Tatschl R. 3D-CFD simulation of IC-engine flow, mixture formation and combustion with AVL FIRE. Combustion Engines Development, Springer Berlin Heidelberg, pp. 601–630, 2012.
- International University of Technology, 2020 (In Persian).
- [3] A. H. Farajollahi, R. Firuzi, Numerical investigation on the effect of creating swirl flow inside the nozzle and injection pressure increase on the cavitation and diesel fuel spray characteristics, *Mechanical Engineering*, Vol. 51, No. 96, p. 155-164, 2021 (In Persian).
- [4] Farajollahi, A., firuzi, R. (2020). 'Numerical investigation on the effect of creating grooves inside the injector nozzle on the diesel and biodiesel engine fuels spray behavior', *Aerospace Knowledge and Technology Journal*, 9(2), pp. 65-76.
- [5] Farajollahi, A., firuzi, R., Rostami, M., salimi, M., bagherpor, F. (2022). 'Numerical investigation on the effect of creating grooves inside the compression ignition injector orifice on spray behavior and atomization quality of diesel and kerosene fuels', *Aerospace Knowledge and Technology Journal*, 10(2), article in press.
- [6] Zuo Y. S., Guo X. L, Chuan C., Yu S. Y. and Guo X. G., Numerical Investigation on Effects of Nozzle'sGeometric Parameters on the Flow and the CavitationCharacteristics within Injector's Nozzle for a High-PressureCommon-Rail DI Diesel Engine. Energy Conversion andManagement, Vol. 89, pp. 843-861, 2015.
- [7] Esmaelnajad, R., Shervani-Tabar, M. T., Jafari, M., Razavi, S. E., "Numerical study on the effectsof different injection patterns in an annulus injector on the performance of a diesel engine", *Modares Mechanical Engineering*, Vol. 18, No. 02, p. 423-433, 2018 (In Persian).
- [8] A. H. Farajollahi, R. Firuzi, M. Rostami & A. Mardani, Numerical study on the effects of creating rotationary flowinside the injector nozzle and changing fuel injection angle on the performance and emission of caterpillar diesel engine, *Journal of the Brazilian Society of Mechanical Science and Engineering*, Vol. 44, No. 3.pp. 1-17, 2022.
- [9] Hosseini, S. M., Ahmadi, R., Mohebi, M., "3D Simulation of Performance and Pollution of Hydrogen-Diesel Combustion in Heavy Duty Engine", *Modares Mechanical Engineering*, Vol.17, No. 03, p. 177-186, 2017 (In Persian).
- [10] Hossainpour, S., Rahagh, H., "Numerical Investigation on the effect of split injection on performance and emission of direct injection diesel engine", *Msc Thesis*,

۱۶  
سال ۱۱ - شماره ۲  
پاییز و زمستان ۱۴۰۱  
نشریه علمی  
دانش و فناوری هوا فضای



مختصات ژئوگرافیکی محدوده انتشار نزدیکی  
ازرسی تأثیر استفاده نازل ماریچ و فرآیند فشار نزدیکی